

Bundesamt für Umwelt BAFU

Juni 2024

Topographische Einzugsgebiete der hydrometrischen Messstationen des BAFU

Referenz/Aktenzeichen: M245-0592

Beschreibung des Geodatensatzes

Der Geodatensatz «EZG_hydrometrische_Stationen» stellt die topographischen Einzugsgebiete der aktuellen hydrometrischen Messstationen des Bundesamts für Umwelt (BAFU) dar. Die Einzugsgebiete basieren auf dem Geobasisdatensatz «Topographische Einzugsgebiete Schweizer Gewässer» des BAFU (Ausgabe 2024). [1]

In diesem Geobasisdatensatz [1] gilt "Als Einzugsgebiet eines Punktes […] dasjenige Gebiet, das bei kompletter Versiegelung der Geländeoberfläche nach dem Auffüllen aller bestehenden Senken durch diesen Punkt entwässert. So gehören zum Einzugsgebiet des betrachteten Punktes insbesondere auch all jene Gebiete, die in der Realität aufgrund von unterirdischen Fliessprozessen oder aufgrund von technischen Einrichtungen aus dem Einzugsgebiet heraus entwässern würden. Mit anderen Worten handelt es sich hierbei um rein topographisch definierte Einzugsgebiete." (siehe auch S. 5 «Einschränkungen in der Anwendung»)

Die Einzugsgebiete der hydrometrischen Messstationen wurden durch Aggregieren der Teilgebiete der «Topographischen Einzugsgebiete Schweizer Gewässer» generiert. Auf eine weitere Bearbeitung der Gebietsgrenzen wurde verzichtet, auch wenn die Messstation nicht identisch mit einem Gebietsauslass im Ausgangsdatensatz ist. In diesen Fällen verläuft die Gebietsgrenze nicht genau bei der Messstation vorbei. Die Abweichungen sollten in jedem Fall gering sein. Für Analysen sind sie vernachlässigbar. Bei kartographischen Darstellungen sind die Abweichungen auf dem Massstab des gesamten Einzugsgebietes nicht erkennbar, bei genauerer Betrachtung teilweise schon (siehe Abbildung 1).

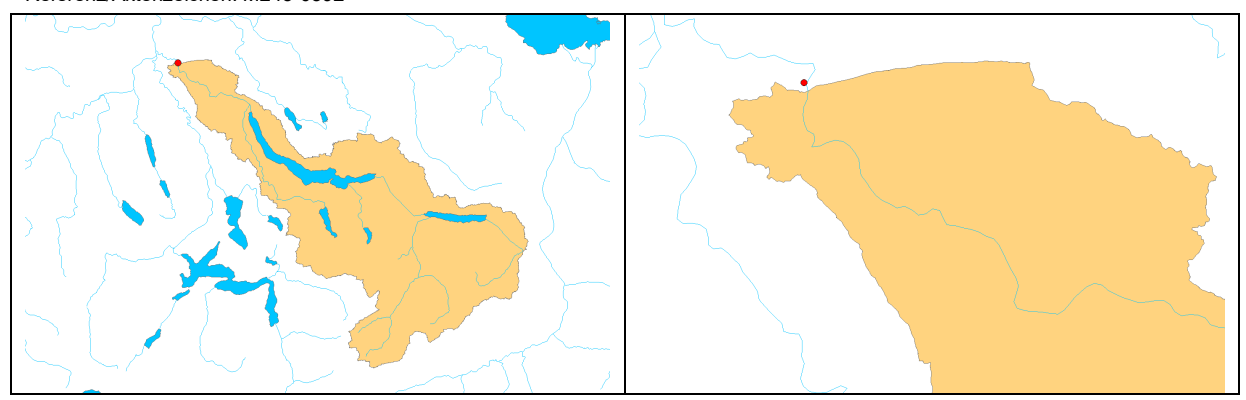


Abbildung 1: Da die Messstation Limmat-Baden, Limmatpromenade (roter Punkt) nicht identisch ist mit einem Gebietsauslass in den «Topographischen Einzugsgebieten Schweizer Gewässer», verläuft die Gebietsgrenze nicht exakt bei der Messstation vorbei. Bei der linken Darstellung ist dies nicht ersichtlich, bei der rechten im grösseren Massstab hingegen schon.

Von einigen wenigen Messstationen konnten wegen diversen Schwierigkeiten die Einzugsgebiete nicht definiert werden. In der Regel handelt es sich dabei um Nebenstationen.

Das Produkt besteht aus einem Shapefile mit den Einzugsgebieten aller Messstationen und einer File Geodatabase mit folgenden Elementen:

- Feature Class mit dem Einzugsgebiet jeder einzelnen Messstation. Die Zahl im Namen der Feature Class entspricht der Stationsnummer, z.B. ezg2004.
- Feature Class mit den Einzugsgebieten von allen Messstationen: ezg_kombiniert.
- Feature Class mit den Messstationen: stationen. Es sind alle aktuellen Messstationen mit Stand Juni 2024.
- Sachdatentabelle mit physiographischen Kenngrössen: ezg physiogeographie
- Sachdatentabelle mit den Einwohnerzahlen: ezg_einwohner
- Sachdatentabelle mit der Bodenbedeckung: ezg_bodenbedeckung

Die Sachdatentabellen können über die ID (Stationsnummer) mit den Einzugsgebieten verknüpft werden.

Attribute Feature Classes "ezgStationsnummer"

| Attribut | Тур | Beschreibung |
|----------|-----------|---|
| SHAPE | Geometrie | Geometrie der Einzugsgebiete; Polygone. |

Attribute Feature Class "ezg_kombiniert"

| Attribut | Тур | Beschreibung |
|-----------------|-----------------|---|
| SHAPE | Geometrie | Geometrie der Einzugsgebiete; Polygone. |
| ID | Short (Integer) | Nummer der Messstation im BAFU-Messnetz. |
| Ortsbezeichnung | Text | Ortsbezeichnung der Messstation. |
| Gewässername | Text | Name des Gewässers, an welchem die Messstation liegt. |

Attribute Feature Class "stationen"

| Attribut | Тур | Beschreibung | |
|-----------------|-----------------|--|--|
| SHAPE | Geometrie | Geometrie der Messstation; Point. | |
| ID | Short (Integer) | Nummer der Messstation im BAFU-Messnetz. | |
| Ortsbezeichnung | Text | Ortsbezeichnung der Messstation. | |
| Gewässername | Text | Name des Gewässers, an welchem die Messstation liegt. | |
| Gewässertyp | Text | Gibt an, ob die Messstation an einem Fliessgewässer oder | |
| | | See liegt. | |
| EZG | Text | Die Ausprägung "ja" bedeutet, dass das Einzugsgebiet der | |
| | | Messstation vorliegt. "nein" bedeutet, dass das | |
| | | topographische Einzugsgebiet nicht bestimmt werden | |
| | | konnte. | |
| TeilEZG_Nr | Text | Nummer der Teileinzugsgebiete der Topographischen | |
| | | Einzugsgebiete Schweizer Gewässer, deren zugehörige | |
| | | Gesamteinzugsgebiete das Einzugsgebiet der | |
| | | Messstation ergeben. | |

Sachdatentabelle "ezg_physiographie"

| Attribut | Beschreibung | | |
|-------------------------------|---|--|--|
| ID | Nummer der Messstation im BAFU-Messnetz. | | |
| RELEASE | Jahr der Veröffentlichung | | |
| Gesamtflaeche | Gesamte Fläche des Einzugsgebietes in km ² | | |
| CH_Teilfläche | Teilfläche des Gesamteinzugsgebietes innerhalb der Schweiz, in km² | | |
| Anteil_CH | Teilfläche des Gesamteinzugsgebietes innerhalb der Schweiz in Prozent der Gesamtfläche | | |
| ch_min_z | Minimale Meereshöhe im Schweizer Teil des Einzugsgebietes | Grundlage: DTM-AV, Digitales | |
| ch_max_z | Maximale Meereshöhe im Schweizer Teil des Einzugsgebietes | Höhenmodell der Amtlichen Vermessung [2], aggregiert auf 10m Rasterzellenweite | |
| ch_mean_z | Mittlere Meereshöhe im Schweizer Teil des Einzugsgebietes | | |
| ch_mean_s | Mittlere Hangneigung im Schweizer Teil des Einzugsgebietes | | |
| min_z | Minimale Meereshöhe im ganzen Einzugsgebiet | | |
| max_z | Maximale Meereshöhe im ganzen Einzugsgebiet | | |
| mean_z | Mittlere Meereshöhe im ganzen Einzugsgebiet | Grundlage: Globales Höhenmodell ASTER GDEM [3] | |
| mean_s | Mittlere Hangneigung im ganzen Einzugsgebiet | | |
| x_300, x300_600, x600_900, | Prozentualer Flächenanteil der jeweiligen nebenstehenden Höhenstufe am Gesamteinzugsgebiet (x_300 = Höhenintervall 0- 300m.ü.M, x300_600 = Höhenintervall 300-600m.ü.M. etc.) | | |

| vergletscherungsgrad | Prozentualer Flächenanteil des | Grundlage: Schweizer Gletscherinventar |
|----------------------|--------------------------------|--|
| | Gletschers am | SGI2016 [4], Österreichisches |
| | Gesamteinzugsgebiet | Gletscherinventar GI 3 2008 [5], |
| | | Französisches Gletscherinventar 2006/09 |
| | | [6], Italienisches Gletscherinventar 2005- |
| | | 2011 [7] |

Sachdatentabelle "ezg_bodenbedeckung"

| Attribut | Beschreibung | |
|----------------------------|-------------------------------------|----------------------------|
| ID | Nummer der Messstation im BAFU | J-Messnetz. |
| RELEASE | Jahr der Veröffentlichung | |
| Gesamtflaeche | Gesamte Fläche des Einzugsgebie | etes in km² |
| CH_Teilflaeche | Teilfläche des Gesamteinzugsgebi | etes innerhalb der Schweiz |
| | in km² | |
| Anteil_CH | Teilfläche innerhalb der Schweiz in | Prozent der Gesamtfläche |
| | Prozentualer Flächenanteil der | |
| | jeweiligen unten stehenden | |
| | Bodenbedeckungskategorie an | |
| | der schweizer Teilfläche des | |
| | Gesamteinzugsgebietes. | Grundlage:Arealstatistik |
| | | BFS, Stand 2013/18 [8], |
| AS_Siedlungsflaechen | Siedlungsflächen | Standardnomenklatur |
| AS_Landwirtschaftsflaechen | Landwirtschaftsflächen | NOAS04 |
| AS_bestockteFlaechen | bestockte Flächen | |
| AS_unproduktiveFlaechen | unproduktive Flächen | |
| | Prozentualer Anteil der | |
| | untenstehenden Corine Land | |
| | Cover (CLC) Kategorien am | |
| | Gesamteinzugsgebiet: | |
| | | |
| | Klasse 1, Bebaute Flächen | Grundlage: Corine Land |
| CLC_BebauteFlaechen | | Cover (Stand 2018) [9] |
| CLC Landwirtschaft | Klasse 2, Landwirtschaft | |
| CLC Waelder | Klasse 3, Wälder und naturnahe | |
| OLO_VVACIACI | Flächen | |
| CLC Feuchtflaechen | Klasse 4, Feuchtflächen | |
| CLC Wasserflaechen | Klasse 5, Wasserflächen | |
| OLO_**ad30fflacoffoff | Masse o, wassemanner | |

${\bf Sachdatentabelle\ "ezg_einwohner"}$

| Attribut | Beschreibung |
|----------------|---|
| ID | Im hydrologischen Jahrbuch publizierte Nummer der Messstation. |
| RELEASE | Jahr der Veröffentlichung |
| Gesamtflaeche | Gesamte Fläche des Einzugsgebietes in km² |
| CH_Teilflaeche | Teilfläche des Gesamteinzugsgebietes innerhalb der Schweiz in km² |
| Anteil_CH | Teilfläche innerhalb der Schweiz in Prozent der Gesamtfläche |
| sum2022 ch | Einwohnerzahl im Schweizer Teil des Einzugsgebietes [10] |

Referenz/Aktenzeichen: M245-0592

Einschränkungen in der Anwendung

«Im vorliegenden Datenmodell sind Einzugsgebiete rein topographisch definiert [...]. Rein topographisch definierte Einzugsgebiete widerspiegeln nicht alle in der Realität angetroffenen Phänomene. Beispielsweise in Karstgebieten können massive Abweichungen zwischen topographisch und hydrogeologisch definierten Einzugsgebieten bestehen. Auch technische Einrichtungen wie Zuund Ableitungen sind nicht berücksichtigt. Vor der Anwendung des Geobasisdatensatzes ist zu prüfen, ob für die jeweilige Fragestellung des Nutzers die rein topographische Definition der Einzugsgebiete zweckmässig ist. » [1]

Dies gilt auch für den Geodatensatz "EZG hydrometrische Stationen".

Nutzungsbedingungen

Sie **dürfen** diesen Datensatz für nicht kommerzielle Zwecke nutzen. Sie **dürfen** diesen Datensatz für kommerzielle Zwecke nutzen. Eine Quellenangabe wird **empfohlen** (Autor, Titel und Link zum Datensatz).

Referenzierte Dokumente

[1] Topographische Einzugsgebiete Schweizer Gewässer, Identifikator 135.4 (Modelldokumentation), Bundesamt für Umwelt.

https://www.bafu.admin.ch/bafu/de/home/themen/wasser/zustand/karten/gedoatenmodelle.html

[2] DTM-AV, Das digitale Terrainmodell der Amtlichen Vermessung, Bundesamt für Landestopographie swisstopo. (Neu: Höhenmodell swissALTI3D). https://shop.swisstopo.admin.ch/de/products/height_models/alti3D

- [3] ASTER GDEM, Global Digital Elevation Model, Ministry of Economy, Trade, and Industry (METI) of Japan and United States National Aeronautics and Space Administration (NASA). https://asterweb.jpl.nasa.gov/gdem.asp
- [4] The new Swiss Glacier Inventory SGI2016: From a topographical to a glaciological dataset. Linsbauer, A., Huss, M., Hodel, E., Bauder, A., Fischer, M., Weidmann, Y., Bärtschi, H. & Schmassmann, E. 2021, Frontiers in Earth Science, 22, doi:10.3389/feart.2021.704189.
- [5] Tracing glacier changes in Austria from the Little Ice Age to the present using a lidar-based high-resolution glacier inventory in Austria. Fischer A., Seiser B., Stocker Waldhuber M., Mitterer C. and Abermann J., The Cryosphere, 9, 2015, pp.753–766.
- [6] Multitemporal glacier inventory of the French Alps from the late 1960s to the late 2000s. Gardent M., Rabatel A., Dedieu J-P and Deline P., Global and Planetary Change 120, 2014, pp. 24–37.
- [7] The evolution of the Italian glaciers from the previous data base to the new Italian inventory. Preliminary considerations and results. Smiraglia C., Azzoni R., D'Agata C., Maragno D., Fuganzza D., and Diolaiuti G., Geogr. Fis. Dinam. Quat. 38, 2015, pp. 79-87.
- [8] Arealstatistik Schweiz 2013/18, Bundesamt für Statistik. https://www.bfs.admin.ch/bfs/de/home/statistiken/raum-umwelt/erhebungen/area.html
- [9] Corine Land Cover 2018, European Environmental Agency. https://land.copernicus.eu/pan-european/corine-land-cover/clc2018
- [10] Statistik der Bevölkerung und Haushalte 2022, Bundesamt für Statistik, BFS. https://www.bfs.admin.ch/bfs/de/home/dienstleistungen/geostat/geodaten-bundesstatistik/gebaeude-wohnungen-haushalte-personen/bevoelkerung-haushalte-ab-2010.html